

Stabilité des mesures de bord pour la détection de lignes caractéristiques

F. Chazal¹ D. Cohen-Steiner² Q. Mérigot²

¹Geometrica, INRIA Futurs

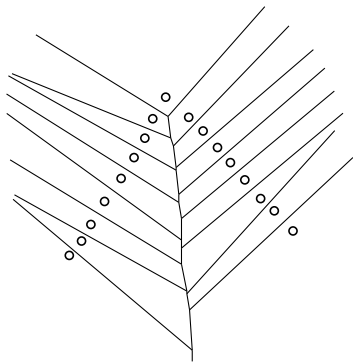
²Geometrica, INRIA Sophia-Antipolis

15 juin 2007 / Journées informatique et géométrie

C étant un nuage de point échantillonnant $K \subseteq \mathbb{R}^n$, on veut :

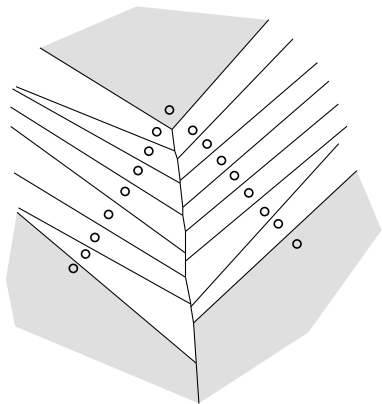
- 1 déterminer les zones singulières de K à partir de C seulement
- 2 le coût de la méthode ne doit pas (trop) dépendre de la dimension ambiante
 \implies on ne peut pas construire un diagramme de Voronoï de C
- 3 le résultat doit être stable sous perturbation Hausdorff

Les cellules de Voronoï du bord sont «grosses»..?



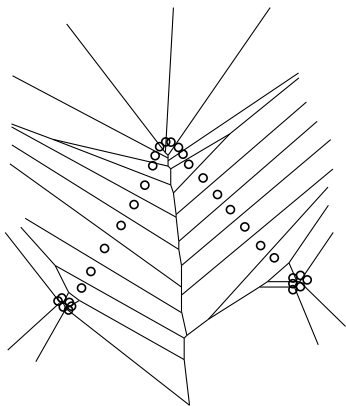
- la taille des cellules est sensible aux perturbations !
- par contre si on prend l'union des cellules de Voronoï dont le site est contenu dans une petite boule...

Les cellules de Voronoï du bord sont «grosses».. ?



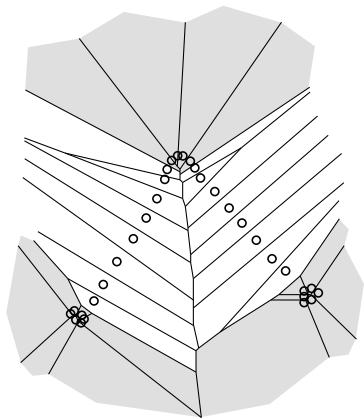
- la taille des cellules est sensible aux perturbations !
- par contre si on prend l'union des cellules de Voronoï dont le site est contenu dans une petite boule...

Les cellules de Voronoï du bord sont «grosses»..?



- la taille des cellules est sensible aux perturbations !
- par contre si on prend l'union des cellules de Voronoï dont le site est contenu dans une petite boule...

Les cellules de Voronoï du bord sont «grosses».. ?



- la taille des cellules est sensible aux perturbations !
- par contre si on prend l'union des cellules de Voronoï dont le site est contenu dans une petite boule...

Définition

La projection $p_K : \mathbb{R}^n \rightarrow K$ associe à un point $x \in \mathbb{R}^n$ son plus proche voisin dans K (s'il existe)

- 1 si K est fini, p_K envoie une cellule de Voronoï sur son site (et n'est pas définie sur les face de Voronoï)
- 2 en général, p_K est partout sauf sur l'axe médian $\mathcal{M}(K)$
- 3 $\mathcal{M}(K)$ est de mesure nulle (Rademacher)

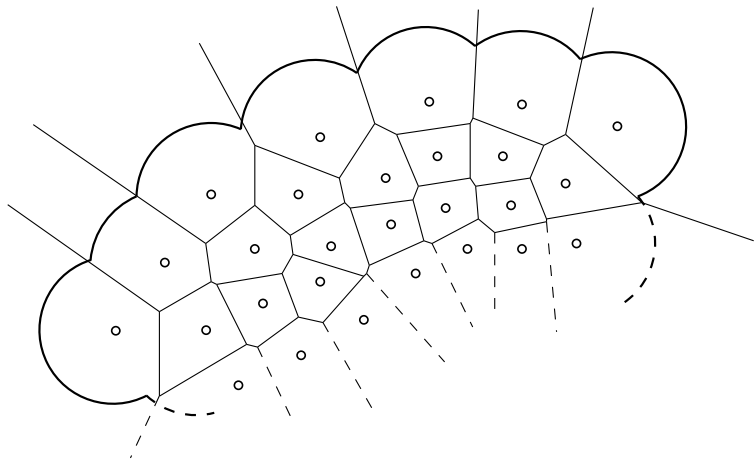
Définitions

Si $K \subseteq \mathbb{R}^n$, $p_K : \mathbb{R}^n \rightarrow K$ est la projection sur K , et K^r le r -offset de K , ie. $K^r = \{x \in \mathbb{R}^n; d(x, K) \leq r\}$. La mesure de bord $\mu_{K,r}$ est définie par :

$$\forall B \subseteq \mathbb{R}^n, \mu_{K,r}(B) = \text{vol}^n(\{x \in K^r; p_K(x) \in B\})$$

- 1 « mesure » au sens de la théorie de la mesure
- 2 définit une distribution de masse concentrée sur K qui peut être volumique, linéique, surfacique, etc.

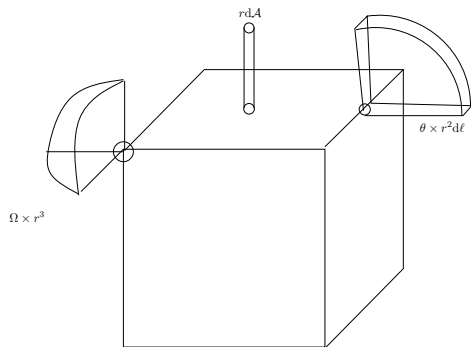
Exemple de mesure de bord : nuage de points



la mesure de bord s'écrit comme une somme de masses de Dirac :

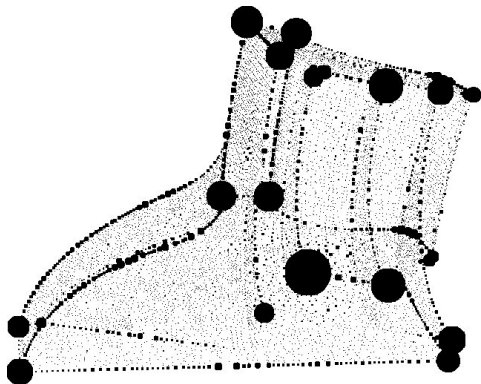
$$\mu_{C,r} = \sum_i \text{vol}_n(\text{Vor}(x_i) \cap C^r) \delta_{x_i}$$

Exemple de mesure de bord : polyèdre convexe



- la mesure de bord se décompose en somme :
 $\mu_{C,r} = \sum_{i=1}^3 \Phi_{3-i} r^i$ où Φ_3 est volumique, Φ_2 surfacique, etc.
- les Φ_i sont (à une constante près) les *mesures de courbure* du cube

Exemple de mesure de bord : nuage de points (bis)



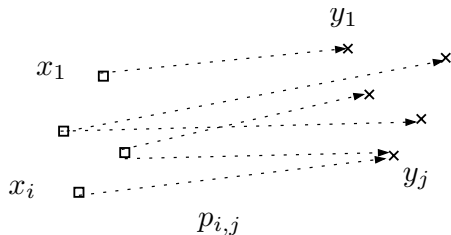
les volumes des cellules de Voronoï sont évalués par une méthode Monte-Carlo

Distance de Wasserstein

- 1 distance de Wasserstein : distance entre deux mesures ν et μ sur \mathbb{R}^n de même masse totale
- 2 version discrète : $\mu = \sum_i c_i \delta_{x_i}$, $\nu = \sum_j d_j \delta_{y_j}$,

$$W(\mu, \nu) = \inf \left\{ \sum_{i,j} p_{ij} \|x_i - y_j\| ; \sum_j p_{ij} = d_j \text{ et } \sum_i p_{ij} = c_i \right\}$$

- 3 version générale : la distance de Wasserstein entre μ et ν est le minimum du coût des transports de μ à ν

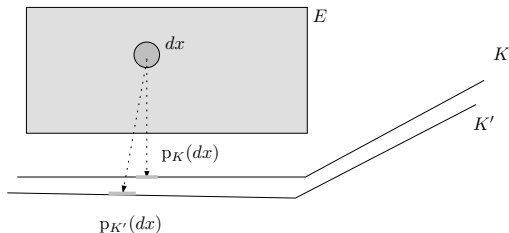


- pour simplifier, on fixe E un ouvert à bord lisse E , et on considère la mesure $\mu_{K,E}$ définie par

$$\forall B, \mu_{K,E}(B) = \text{vol}_n(\{x \in E; p_K(x) \in B\})$$

- K, K' sont deux compacts, et on veut majorer $W(\mu_{K,E}, \mu_{K',E})$
- il suffit de trouver **un** plan de transport et de majorer son coût

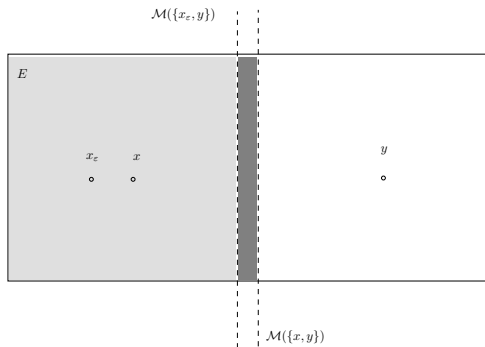
Distance de Wasserstein entre mesures de bord (bis)



on considère le plan de transport suivant : une petite masse $p_K(dx)$ provenant d'un élément de masse dx de E est transportée en $p_{K'}(dx)$
le coût total de ce transport est :

$$\int_E \|p_K(x) - p_{K'}(x)\| dx = \|p_K - p'_{K'}\|_{L^1(E)}$$

Ex. de distance entre mesures de bord



- $K_\varepsilon = \{x_\varepsilon, y\}$ et $K = \{x, y\}$
- sur la partie gris foncé,
 $\|p_K(w) - p_{K_\varepsilon}(w)\| = \|x_\varepsilon - y\| = \|x - y\| + \varepsilon$
- sur la partie gris clair,
 $\|p_K(w) - p_{K_\varepsilon}(w)\| = \varepsilon$
- au total, $\|p_K - p_{K'}\|_{L^1(E)} = W(\mu_{K,E}, \mu_{K',E}) = O(\varepsilon)$

les projections sur K et K_ε peuvent beaucoup différer sur un voisinage (fin) de l'axe médian de K

Théorème

Soit E un ouvert à bord lisse de \mathbb{R}^n , K et K' deux compacts assez proches, il existe une constante $C(n)$ telle que

$$\begin{aligned} \|p_K - p_{K'}\|_{L^1(E)} &:= \int_E \|p_K - p_{K'}\| \\ &\leq C(n)[\text{vol}_n(E) + \text{diam}(K)\text{vol}_{n-1}(\partial E)]\sqrt{R_K d_H(K, K')} \end{aligned}$$

où $R_K = \sup_{x \in E} d(x, K)$.

- 1 *assez proches* signifie que $d_H(K, K')$ est plus petit que $\min(R_K, \text{diam}(K), \text{diam}(K)^2/R_K)$
- 2 $C(n) = O(\sqrt{n})$
- 3 le terme en $\text{vol}_{n-1}(\partial E)$ est inévitable

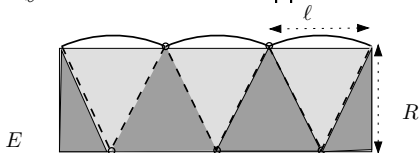
- $p_K = \nabla v_K$ où $v_K : x \rightarrow \|x\|^2 - d_K(x)^2$ est convexe
- si $\phi, \psi : E \rightarrow \mathbb{R}$ sont convexes et $k = \text{diam}(\nabla\phi(E) \cup \nabla\psi(E))$,

$$\|\nabla\phi - \nabla\psi\|_{L^1(E)} \leq C(n)[\text{vol}_n(E) + k\text{vol}_{n-1}(\partial E)] \|\phi - \psi\|_\infty^{1/2}$$

Optimalité du théorème de stabilité des projections

$K =$ segment unité dans \mathbb{R}^2 , R fixé

$K_\ell =$ arcs de cercles approximat K



- $d_H(K, K_\ell) \leq R\ell^2/8$.
- un calcul montre que $\|p_K - p_{K_\ell}\|_{L^1(E)} = \Omega(\ell)$ (E est le rectangle de taille $1 \times R$ attaché à K).
- finalement, $\|p_K - p_{K_\ell}\|_{L^1(E)} = \Omega(d_H(K, K_\ell)^{1/2})$

Théorème

Soit K un compact fixé, et E un ouvert à bord lisse, alors

$$W(\mu_{K,E}, \mu_{K',E}) \leq C(n, E, K) d_H(K, K')^{1/2}$$

dès lors que K' est assez proche de K .

⇒ théorème quantitatif de stabilité des mesures de courbure

Résumé des résultats :

- 1 construction d'une mesure «de bord» qui charge les zones singulières d'un compact
- 2 cette mesure dépend continûment du compact (théorème quantitatif)

Questions ouvertes :

- 1 peut-on remplacer les projections par des projections approchées ?
- 2 comment peut-on extraire l'information géométrique contenue dans la mesure de bord ou dans les mesures de courbure (on a besoin d'une notion stable de support)